

Entrée et sortie: Système Offset Reflective ORS18a

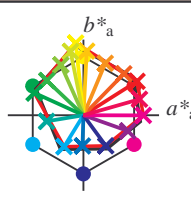
Données de couleurs périphériques (d)  
ou élémentaires (e): $HIC^*_d$ code de teinte pour les cou-  
leurs de cette page: $H^*_d = R00Y_d, R25Y_d, \dots, B75R_d$ 

## ORS20a; données CIELAB (a) adaptées

$H^*_d$	$L^*=L^*_a a^*_a$	$b^*_a$	$C^*_{ab,a}$	$h^*_{ab,a}$
R00Y_100_100_d	45.4	70.9	44.8	83.9
R25Y_100_100_d	53.0	53.4	54.8	76.5
R50Y_100_100_d	64.9	28.9	68.6	74.5
R75Y_100_100_d	78.6	4.3	84.7	84.8
Y00G_100_100_d	87.8	-10.2	95.4	96.0
Y25G_100_100_d	81.2	-17.0	84.3	86.0
Y50G_100_100_d	70.6	-29.7	66.5	72.8
Y75G_100_100_d	57.9	-48.3	45.8	66.5
G00B_100_100_d	50.0	-65.0	29.6	71.4
G25B_100_100_d	52.9	-48.6	-8.0	49.3
G50B_100_100_d	56.8	-25.5	-41.5	48.7
G75B_100_100_d	41.7	-1.2	-40.6	40.6
B00R_100_100_d	25.0	29.5	-40.4	50.0
B25R_100_100_d	35.6	58.6	-20.7	62.1
B50R_100_100_d	46.1	79.3	-0.2	79.3
B75R_100_100_d	45.9	74.2	21.1	77.1

## ORS20a; données CIELAB (a) adaptées

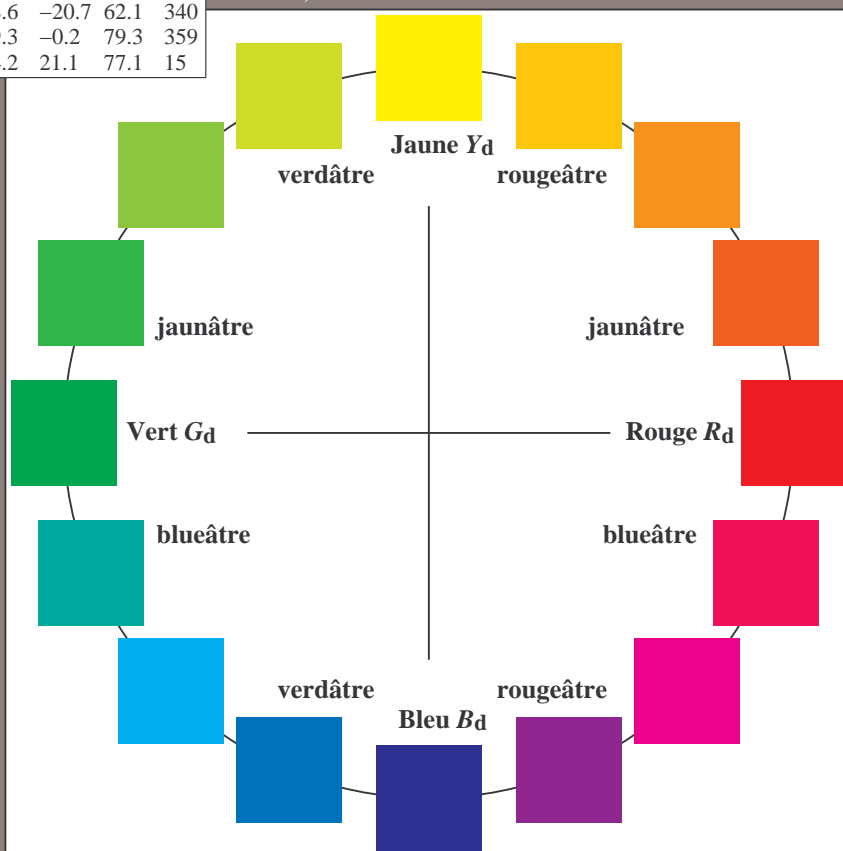
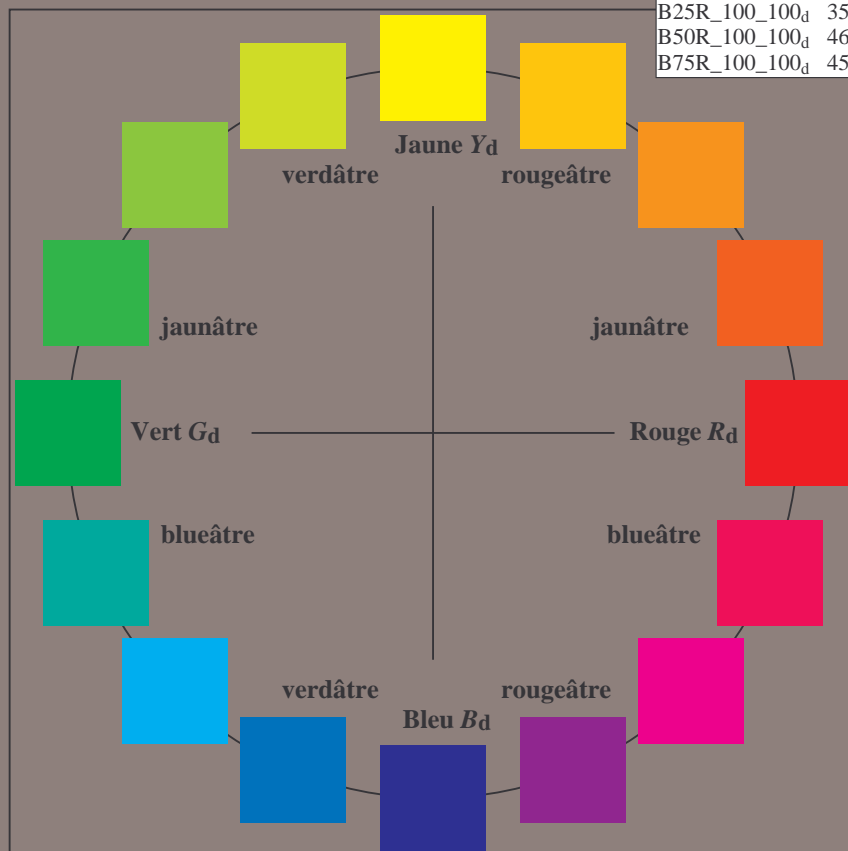
nom	$L^*=L^*_a a^*_a$	$b^*_a$	$C^*_{ab,a}$	$h^*_{ab,a}$
R <sub>d</sub> ,Ma	45.4	70.9	44.8	83.9
Y <sub>d</sub> ,Ma	87.8	-10.2	95.4	96.0
G <sub>d</sub> ,Ma	50.0	-65.0	29.6	71.4
C <sub>d</sub> ,Ma	56.8	-25.5	-41.5	48.7
B <sub>d</sub> ,Ma	25.0	29.5	-40.4	50.0
M <sub>d</sub> ,Ma	46.1	79.3	-0.2	79.3
N <sub>d</sub> ,Ma	24.3	0.0	0.0	0
W <sub>d</sub> ,Ma	95.6	0.0	0.0	0
R <sub>d</sub> ,CIE	39.9	58.7	27.9	65.0
Y <sub>d</sub> ,CIE	81.2	-2.8	71.5	71.6
G <sub>d</sub> ,CIE	52.2	-42.4	13.6	44.5
B <sub>d</sub> ,CIE	30.5	1.4	-46.4	46.4



%Gamme

 $u^*_{rel} = 92$ 

%Régularité

 $g^*_{H,rel} = 57$  $g^*_{C,rel} = 58$ 

3-003131-L0 PF860-70

graphique TUB-PF86; cercle de teinte, 16 étapes  
graphique conforme à DIN 33872, 3D=0, de=0, cmy0entrée : rgb/cmyk → rgb<sub>d</sub>  
sortie : transférer à cmy0<sub>d</sub>

3-003131-F0